

كلية العلوم

القسم : المهنرياء

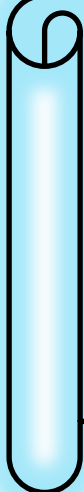
السنة : الرابعة



٩

المادة : الكترونيات نانوية

المحاضرة : الثانية/نظري/



{{{ A to Z مكتبة }}}}

مكتبة A to Z Facebook Group

كلية العلوم ، كلية الصيدلة ، الهندسة التقنية

١٢

يمكنكم طلب المحاضرات برسالة نصية (SMS) أو عبر (What's app-Telegram) على الرقم 0931497960



الانتقال الإلكتروني في أنصاف النوافل والstruktures النانوية

Electron Transport in Semiconductors and Nanostructures

5-6 النقل الإلكتروني في التراكيب النانوية :Electron Transport in Nanostructure

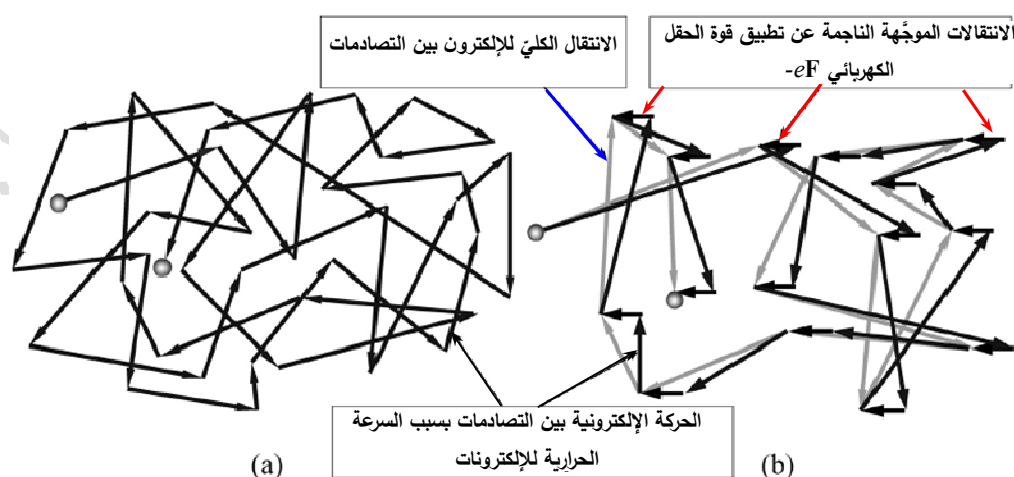
لقد أشرنا في الفقرة 6-2 إلى وجود أنظمة مميزة للحركة الإلكترونية في التراكيب النانوية. سندرس في هذه الفقرة بعض الأمثلة حول النقل الإلكتروني المترافق تحت تأثير انحياز كهربائي. نبدأ بأبسط نقل إلكتروني تقليدي - تبدي يتحقق **عند المسافات الكبيرة بين التماسين العلوي والسفلي (الشكل 6-2)** تبعاً للمعادلتين (6-10) و (6-12)، **وذلك لدى تطبيق** حقول كهربائية ضعيفة. يمكن أن يحدث نظام النقل هذا في عينات حجمية، وبئر كمومية، وتراكيب الأسلام الكومومية.

النقل التبدي التقليدي :Classical Dissipative Transport

تكون الإلكترونات في الجسم الصلب في حركة دائمة ولكنها عشوائية بسبب تبعثر عشوائي يحدث على كل من الشوائب، واهتزازات الشبكة البلورية، وخشونة السطح الفاصل، الخ؛ ومن ثم لا يوجد اتجاه مفضل للحركة الإلكترونية؛ وعليه، يساوي التدفق الإلكتروني الإجمالي والتيار الكهربائي الصفر. إذا طبق الآن حقل كهربائي، \vec{F} ، على الجسم الصلب، فإن قوة كهربائية، $e\vec{F}$ ، تؤثر في كل إلكترون من الإلكترونات المتوفرة فيه (نفرض هنا أن الشحنة الكهربائية تساوي e^-).

على الرغم من أن السلوك العشوائي للحركة الإلكترونية يمكن أن يبقى، إلا أن انسياقاً إجمالياً موجهاً للإلكترونات ينبع من القوة الكهربائية المطبقة على الجسم الصلب. يوضح الشكل (7-6) حركة الإلكترونية عشوائية من دون تطبيق حقل كهربائي وبوجوده: لوصف هذه الحركة يمكننا تطبيق معادلة نيوتون من أجل السرعة الوسطية للإلكترونات، \bar{v} . وبهدف الأخذ بالحسبان عمليات التبعثر التي تؤدي إلى فقد في المركبة الموجة للسرعة، ثدخل حداً إضافياً يُعتبر عن قوة الاحتكاك:

$$m^* \frac{d\bar{v}}{dt} = -\frac{m^*}{\tau_e} \bar{v} - e\vec{F}, \quad (48-6)$$



الشكل (7-6): حركة انتشارية عشوائية للكترون في حالة التوازن (a) وعند تطبيق حقل كهربائي \vec{F} (b).

حيث يمكن تفسير τ_e على أنه **استرخاء الاندفاع الإلكتروني** أو **زمن الطيران الحر**.
ومن الواضح، أن الحركة الإلكترونية الموصوفة بالمعادلة المذكورة أعلاه تبديدية بطبعتها.
نحصل من أجل الحالة المستقرة على المعادلة الآتية:

$$\vec{v} = -\frac{e\tau_e}{m^*} \vec{F} = -\mu \vec{F}, \quad (49-6)$$

حيث أدخلنا الوسيط μ إلى هذه المعادلة الذي يسمى **الحركة الإلكترونية Electron Mobility** ووحدة قياسها هي $\text{m}^2 \cdot \text{V}^{-1} \cdot \text{s}^{-1}$ ؛ إن الحركة الإلكترونية هي إحدى الصفات الأساسية المميزة للنقل الإلكتروني في حالة تطبيق حقول منخفضة القيمة.

يُظهر تعريف μ الآتي

$$\mu = \frac{e\tau_e}{m^*} \quad (50-6)$$

أن الحركة الإلكترونية تكون أكبر من أجل مواد بكتل m^* فعالة τ_e صغيرة وتبعد مسحوق، أي من أجل قيم كبيرة μ .

→ **تعكس الإشارة السالبة في المعادلة (49-6) حقيقة أن الإلكترونات تتنقل في اتجاه معاكس لاتجاه الحقل الكهربائي**، لأن شحذاتها سالبة.

يمكننا لدى اكتساب الإلكترون سرعة (انسياق) وسطية، \bar{v} ، وتركيز إلكتروني، n ، حساب كثافة التيار الكهربائي بالعلاقة الآتية:

$$\bar{J} = -e\bar{v}n = e\mu n\vec{F} = \sigma \vec{F}. \quad (51-6)$$

حيث يسمى المقدار

$$\sigma = e\mu n \quad (52-6)$$

الناقلية الكهربائية النوعية (الناقلية النوعية باختصار) *Specific Conductivity*، ويتعلق، كما سُرر، بكل من تركيز الإلكترونات n وحركتها μ . وُتُعرف النتيجة المعطاة بالمعادلة (51-6) بقانون أوم. إذا كانت الناقلية النوعية والأبعاد الهندسية لعينة معلومة، يمكننا حساب التيار الكهربائي الإجمالي بسهولة:

$$\bar{I} = \bar{J} \cdot S = \sigma S \vec{F}, \quad |\bar{I}| = \frac{\Phi_0}{R}, \quad (53-6)$$

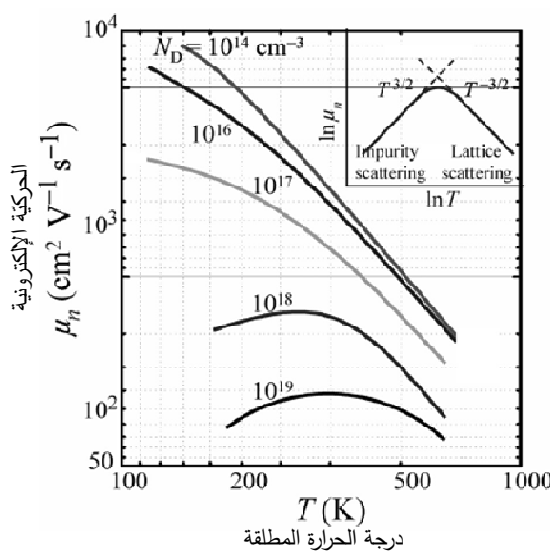
حيث أدخلنا في هذه المعادلة المقطع العرضي للعينة S ، وهبوط الجهد بين طرفيها، $F = L_x \cdot \Phi_0$ ، وطولها L_x .
تساوي مقاومة العينة إلى:

$$R = \frac{L_x}{\sigma \cdot S}. \quad (54-6)$$

إن المعادلات (49-6)-(51-6) صالحة من أجل جمل فизيائية أيًا تكون أبعادها حيث يحدث النقل التبديدي؛ إذ تشمل جملًا ثلاثية البعد، وثنائية البعد، وأحادية البعد؛ وتعُد الحركة الإلكترونية من أجلها جميعًا **صفة تمثيلية مميزة Representative Characteristic**.

يجب أن نؤكد من خلال العودة إلى مناقشة الحركة أن قيمتها تتعلق بنوع المادة وآليات التباعد على هذه المادة؛ تشمل هذه الآليات في أنصاف النواقل عادةً على:

- الشوائب، والنواقص (العيوب النقطية والانحلالات وغيرها)، واهتزازات الشبكة البلورية.



الشكل (6-8): تابعية الحركة الإلكترونية لدرجة الحرارة في السيليكون Si من أجل جملة فيها نظاماً تتبعه؛ التبعثر على الشبكة البلورية والتبعثر على الشوائب. تمت الإشارة إلى تركيز الشوائب، N_D ، بجوار كل منحنٍ

إذاً أمكن تقاضي آلية التبعثر الأوليتين في عينات نقاء وعالية الجودة، فيمكن من حيث المبدأ تقاضي التبعثر على الشبكة، أو كما يُقال أحياناً **التبعثر الفونوني**.

يساوي المعدل الإجمالي للتبعثر مجموع معدلات التبعثر بسبب الآليات الخاصة المختلفة؛ إذ تتناسب كل آلية من هذه الآليات طردياً مع احتمال التبعثر وعكسياً مع الزمن الحر الوسطي. وهذا يقودنا إلى استنتاج مفاده، أنه لا بد أيضاً من جمع مقاييس الحركيات الناجمة عن آلية تتبعثر أو أكثر:

$$\frac{1}{\mu} = \frac{1}{\mu_{ph}} + \frac{1}{\mu_{im}} + \dots, \quad (55-6)$$

حيث μ_{ph} و μ_{im} حركيات جزئية تُعين بتبعد فونوني وتبعثر شوائب، على الترتيب.

يتعلق التبعثر الفونوني بدرجة الحرارة بشكل واضح؛ إذ في درجات الحرارة المنخفضة، عند سحق اهتزازت الشبكة البلورية، يكون معدل هذا النوع من التبعثر صغيراً، ولكنه يرتفع بازدياد درجة الحرارة. وهذا ما يؤدي إلى قيمة محدودة لحركية حتى في البلورات النقاء؛

فمثلاً، الحركيات الإلكترونية من أجل بلورات حجمية من Si و GaAs، في درجة حرارة الغرفة، محدودتان بالقيمتين $8500 \text{ cm}^2 \cdot \text{V}^{-1} \cdot \text{s}^{-1}$ و $1350 \text{ cm}^2 \cdot \text{V}^{-1} \cdot \text{s}^{-1}$ على الترتيب؛ ويمكن بلوغ قيم حركية μ من نفس المرتبة في جمل منخفضة الأبعاد في درجة حرارة الغرفة.

وعند تناقص درجة الحرارة تزداد الحركية ويُصبح التبعثر على النواص والشوائب عاملاً مسيطراً، كما يوضح الشكل (6-8). يمكن تقاضي آليات التبعثر هذه في جمل منخفضة الأبعاد حيث يمكن أن تبلغ الحركية قيماً تفوق القيمة $(10^5 - 10^6) \text{ cm}^2 \cdot \text{V}^{-1} \cdot \text{s}^{-1}$.

يصلح التيار الإلكتروني الذي له شكل المعادلة (51-6) من أجل النواقل المنتظمة، ولكن إذا ارتبط التركيز الإلكتروني n بالإحداثيات المكانية، فإن الإلكترونات تنتشر، تلقائياً وبشكل طبيعي، من منطقة التركيز العالي إلى منطقة التركيز الأخفض، مما يسبب تدفقاً إلكترونياً معاكساً لدرج التركيز الإلكتروني، $-dn/dr \sim$ ؛ يمكن كتابة المساهمة الانتشارية في التيار بالعلاقة الآتية:

$$\vec{J}_D = eD \frac{dn}{dr} \equiv eD \vec{\nabla}_r n, \quad (56-6)$$

حيث D معامل الانتشار الذي تمت مناقشته في الفقرة 2-6.

إذن، يتألف التيار الكلي في ناقل غير منتظم من كلتا المساهمتين؛ الانسيافية والانتشارية:

$$\vec{J} = e\mu \vec{F} n + eD \vec{\nabla}_r n \quad (57-6)$$

يمكنا الحصول على العلاقة الأساسية بين المعاملين الحركيين؛ الحركية μ والانتشار D بسهولة، ولتحقيق ذلك نطبق المعادلة (57-6) في شروط التوازن: في هذه الحالة، لا يوجد تيار كهربائي، أي $\bar{J} = 0$. وعندما يمكن التعبير عن التركيز الإلكتروني، $(\bar{r})_n$ ، من خلال الكمون الكهربائي، $(\bar{r})\Phi$ ، تبعاً لتوزع بولتزمان:

$$n(\bar{r}) = n_0 e^{\frac{e\Phi(\bar{r})}{k_B T}}$$

وبالتعويض عن هذه العلاقة والحقن الكهربائي، $\bar{F}(\bar{r}) = -d\Phi / d\bar{r}$ ، في المعادلة (57-6) ثم مساواة التيار بالصفر نحصل على ما يسمى **العلاقة بين ثابت المألفة** كما وجدنا في أكثر من مكان:

$$\frac{D}{\mu} = \frac{k_B T}{e}. \quad (58-6)$$

وهكذا، نستطيع بمعرفة الحركية الإلكترونية μ حساب معامل الانتشار D بسهولة. تُعدُّ النتائج التي تمت مناقشتها للتوصيات للنقل الإلكتروني في الحالة المستقرة $\omega = 0$ ، ولكن، من جهة أخرى، بمقدور معادلة نيوتن (48-6)، $m^* \frac{d\bar{v}}{dt} = -\frac{m^*}{\tau_e} \bar{v} - e\bar{F}$ ، وصف سلوك الإلكترونات في حقل كهربائي اختياري متغير مع الزمن، $(t)\bar{F}$. طالما أنه يمكن تمثيل أي تابعية للزمن، $(t)\bar{F}$ ، باستخدام تحويل فورييه،

فيكنا تحليل حالة التابعية الهازمونية للحقن الكهربائي:

$$\bar{F}(t) = \bar{F}_\omega \cos(\omega t), \quad (59-6)$$

حيث \bar{F}_ω قيمة الحقن و ω تواتر اهتزازات الحقن.

نستخدم من أجل التطيل اللاحق العلاقة المعروفة جيداً، $\cos(\omega t) = \text{Re}[\dots]$ ، حيث يعني \dots حساب القسم الحقيقي للمقدار الموجود ضمن القوسين المتوسطين.

إذن، شكل الحقن الفيزيائي هو

$$\bar{F}(t) = \text{Re} \left[\bar{F}_\omega e^{-i\omega t} \right].$$

يجدر بالذكر أن الحسابات بوجود توابع أسيّة من الشكل $e^{-i\omega t}$ أبسط دوماً من تلك بوجود توابع حببية وتجبية. ولهذا السبب، تُستخدم الطريقة الآتية على نحو شائع: عوضاً عن الشكل التجيبي للحقن المستعمل في المعادلة (59-6) في معادلة نيوتن **يُستعمل التمثيل العقدي** للحقن الكهربائي:

$$\tilde{\bar{F}}(t) = \bar{F}_\omega e^{-i\omega t}.$$

لدى إيجاد حل للمعادلة (48-6) التي تحوي حقلاً عقدياً يمكن حساب القسم الحقيقي بسهولة من الحل الذي يمتلك معنى فيزيائياً. لتطبيق هذه الطريقة **نبحث عن حلٍ** للمعادلة (48-6) بحقن عقدي من الشكل الأسني $\bar{v}_\omega e^{-i\omega t}$. وبالتعويض عن هذا الشكل في المعادلة (48-6) نحصل مباشرةً على العلاقة:

$$\bar{v}_\omega = -\frac{e}{m^*} \frac{\tau_e}{1 - i\omega\tau_e} \bar{F}_\omega. \quad (60-6)$$

في هذه الحالة، يجب أن تُحسب السرعة الإلكترونية وفق الشكل

$$\bar{v}(t) = \text{Re} [\bar{v}_\omega e^{-i\omega t}] = \bar{v}_\omega \text{Re} (\cos \omega t - i \sin \omega t);$$

$$\vec{v}(t) = -\frac{e\tau_e}{m^*} \vec{F}_\omega \frac{\tau_e}{1-i\omega\tau_e} e^{-i\omega t} = -\frac{e\tau_e}{m^*} \vec{F}_\omega \frac{\tau_e}{1-i\omega\tau_e} (\cos\omega t - i \sin\omega t)$$

ولفعل ذلك، نضرب بسط ومقام الطرف الأيمن من العلاقة (60-6) بمرافق المقام، $1+i\omega\tau_e$ ، فنحصل على علاقة تحوي جزأين؛ حقيقي وتخيلي $= -\frac{e\tau_e}{m^*} \vec{F}_\omega \left(\frac{1}{1+\omega^2\tau_e^2} + i \frac{\omega\tau_e \sin(\omega t)}{1+\omega^2\tau_e^2} \right)$. ومن ثم تأخذ علاقة السرعة الإلكترونية الشكل:

$$\vec{v}(t) = -\frac{e\tau_e}{m^*} \vec{F}_\omega \left[\left(\frac{\cos(\omega t)}{1+\omega^2\tau_e^2} + \frac{\omega\tau_e \sin(\omega t)}{1+\omega^2\tau_e^2} \right) + i \left(\frac{\omega\tau_e \cos(\omega t)}{1+\omega^2\tau_e^2} - \frac{\sin(\omega t)}{1+\omega^2\tau_e^2} \right) \right].$$

وبعد ذلك، تأخذ القسم الحقيقي **فقط** بما ينسجم مع المعادلة (59-59) ونُهمل القسم التخيلي، فنجد أنَّ:

$$\vec{v}(t) = -\frac{e\tau_e}{m^*} \vec{F}_\omega \left(\frac{\cos(\omega t)}{1+\omega^2\tau_e^2} + \frac{\omega\tau_e \sin(\omega t)}{1+\omega^2\tau_e^2} \right). \quad (61-6)$$

وهكذا، نجد أن **تجيب** الحقل الكهربائي في المعادلة (59-59) **يُنْتَج** حركة إلكترونية بمساهمتي الجيب والتجيب معاً. ومن المناسب إعادة كتابة المعادلة الأخيرة (61-6) بالشكل الآتي بعد فرض، $\tan\varphi = \omega\tau_e$ والأخذ بالحساب أنَّ

$$\sqrt{1+\tan^2\varphi} = 1/\cos\varphi = \sqrt{1+\omega^2\tau_e^2}$$

$$\boxed{\vec{v}(t) = -\frac{e\tau_e}{m^*} \vec{F}_\omega \frac{\cos(\omega t - \varphi)}{\sqrt{1+\omega^2\tau_e^2}}}, \quad (62-6)$$

حيث أدخلنا الانزياح الطوري φ للسرعة الإلكترونية بالنسبة لطور الحقل الكهربائي (59-59).

لخلص الاستنتاج الأول الذي يرشح من هذه الدراسة بالشكل الآتي:

يمكن إيجاد **الانزياح الطوري** من المعادلة $\tan\varphi = \omega\tau_e$. وهذا > 0 ، مما يفترض، حسب المعادلة (62-6)، أنَّ **الإلكترونات تتأخر** بالطور بالنسبة للتغيرات الحقل الكهربائي. ومن الواضح، أن **التأخير** موجود من أجل الترددات ω الاصغرية **فقط** (وإلا سينعد الجزء التخيلي المعتبر عن فقد الطاقة) **ويزداد** بسبب وجود حد قوة الاحتكاك في معادلة نيوتن.

أما **الاستنتاج الآخر** الذي يرشح من المعادلة (62-6) فيكمن في أن **قيمة اهتزازات السرعة تتناقص عند ازدياد تردد الحقل الكهربائي**؛ إذ في **حدود الترددات العالية جداً**، $\omega\tau_e \gg 1$ ، **تتلاشى** السرعة الإلكترونية المتناوبة.

والآن إذا كان لدينا معلوماً كل من السرعة الإلكترونية $(t) \vec{v}$ وتركيز الإلكترونات n ، فإننا نستطيع حساب التابعية الزمنية لتيار كهربائي يتذبذب عبر العينة المدروسة بشكل مشابه للمعادلين (51-51) و (52-52)؛ غير أنه يشيع أكثر استخدام التمثيل العقدي لكتافة التيار:

$$\tilde{\vec{J}}(t) = e\vec{v}n = e\mu n\vec{F} \equiv \sigma(\omega) \vec{F}_\omega e^{-i\omega t}, \quad (63-6)$$

حيث أدخلنا **الناقلية العقدية** *Complex Conductivity* $\sigma(\omega)$ الآتية:

$$\sigma(\omega) = \frac{e^2 \tau_e n}{m^*} \left(\frac{1}{1 + \omega^2 \tau_e^2} + i \frac{\omega \tau_e}{1 + \omega^2 \tau_e^2} \right). \quad (64-6)$$

علاقة درودي

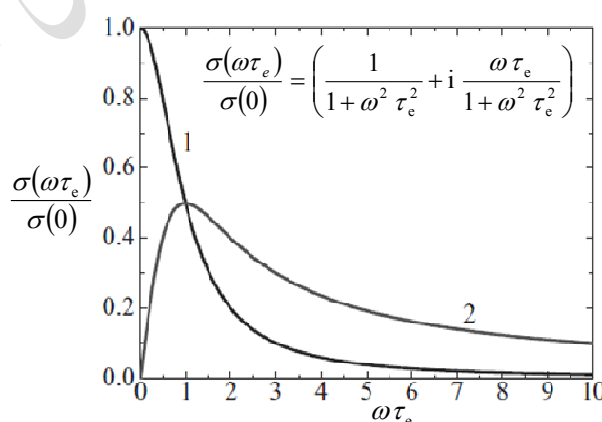
- وفي حدود $\omega \tau_e \rightarrow 0$ تنخفض هذه الناقليّة إلى قيمتها الموافقة للحالة المستقرة (0) ، ومن ثمّ القسم التخييلي للناقليّة مهمٌ، $\sigma(\omega) \big|_{\omega=0} = e^2 \tau_e n / m^*$ ، $\text{Im}[\sigma] \rightarrow 0$.
- ومن أجل الترددات المحدودة تكون كلتا المساهمتين $\text{Re}[\sigma]$ و $\text{Im}[\sigma]$ مهمتين من أجل تيارٍ متزايدٍ، وعلى وجه الخصوص، تكون المساهمتان متساويتين عديدياً عندما $(\omega \tau_e = 1) / \tau_e = 1$.
- وهذه الخاصيّة تُستعمل عادةً لتعيين زمن التبعثر الإلكتروني، τ_e ، عبر تعديل التردد ω ،
- ومن المهم الإشارة إلى أن الزمن τ_e يحدّد خصائص المادة في حالة الترددات العالية.
- وبالتحديد، إذا تحقّق الشرط $\omega \tau_e \ll 1$ ، فإن الناقليّة تتلاشى والحملة الجزئية الإلكترونيّة للمادة لن تستجيب لحقلٍ ترددٍ عالٍ. تُعرف العلاقة المعطاة بالمعادلة (64-6) **علاقة درودي**.

يوضح الشكل (6-9) تابعية كل من $\text{Re}[\sigma(\omega)]$ و $\text{Im}[\sigma(\omega)]$ لتردد ω الحقل الكهربائي المطبق على العينة. تُعد الناقليّة $(\sigma(\omega))$ صفة مميزة للمادة؛ فإذا كانت متجانسةً ومتحوّلاتها الهندسية معلومةً، فيمكننا استعمال

σ لربط التيار المتزاوب الكلي \tilde{I} بالجهد الكلي \tilde{V} (كلاهما ممثل عديدياً):

$$\tilde{I}(t) = \tilde{I}_\omega e^{-i\omega t}, \quad I_\omega = \frac{\Phi_\omega}{Z(\omega)}, \quad Z(\omega) = \frac{L_x}{\sigma(\omega) S}. \quad (65-6)$$

حيث L_x المسافة بين تماسي العينة و S مقطعها العرضي. لقد أرلنا إشارة المتّجّه في العلاقة الثانية من المعادلة الأخيرة. بمقارنة هذه النتائج مع قرينتها في الحالة المستقرة والمعطاة بالمعادلين (6-53) و (6-54) يمكن أن نلاحظ أنه بدلاً من **المقاومة** R يوجد متّحول آخر مرتبط بالتردد، رُمز بالرمز $Z(\omega)$ ، ويُسمى **المعانعة**؛ وهي تابع عديدي يصف الخصائص الكهربائية لكامل العينة ويمكن إدخالها من أجل أي عينة **غير متّجّنة**.



الشكل (6-9): تابعية القسمين الحقيقية (المنحنى 1) والتخييلي (المنحنى 2) للنّاقليّة الكهربائيّة العديديّة للتردد ω ، $\sigma(0) = \sigma(\omega = 0)$.

النقل التبدي في التراكيب القصيرة :Dissipative Transport in Short Structures

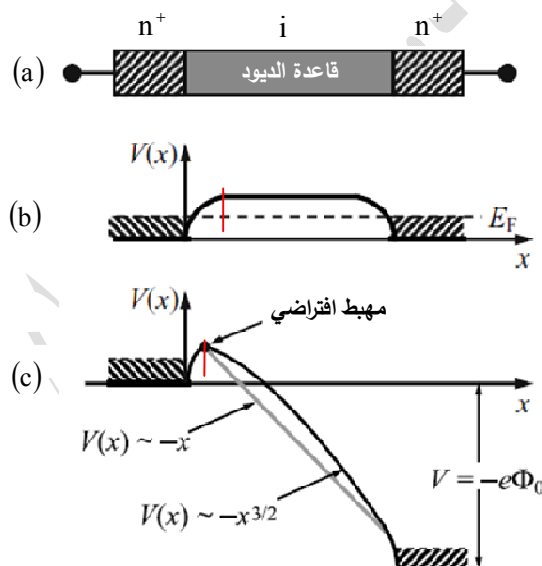
تُعدُّ الحركيَّة صفة مميزة للمادة الناقلة المنتظمة؛ إذ أنَّ الحقل الكهربائي في عيَّنة، بعدها الممتد L_x مثلاً، يكون منتظمًا على الأغلب، ويمكن تقييمه من العلاقة $F = \Phi_0/L_x$ حيث Φ_0 هو الجهد المطبَّق على العيَّنة؛ فالحركيَّة تحدُّد بصورة أساسية المقاومة الكهربائيَّة والتيار الكهربائي وفقًا للمعادلة (53-6)، $I = \Phi_0/R$.

في العيَّنات القصيرة ثُمَّ مفعول كهربائي آخر يمكن أن يُسهم في النقل الإلكتروني والتيار الكهربائي بشكلٍ كبيرٍ جدًا. ينشأ هذا المفعول بسبب إعادة التوزُّع الامنظام للإلكترونات، ومن ثُمَّ إعادة توزُّع الشحنة الكهربائيَّة بين طرفي العيَّنة القصيرة. فالشحنة المترحَّضة بالتيار (تيار حقن الإلكترونات من باعث الديود نحو قاعده) تؤثُّر على توزُّع الكمون على طول العيَّنة جاعلَه هذا التوزُّع شديد عدم الانتظام ومرتبطًا بالتيار ارتباطًا وثيقًا؛ وبنتيجة ذلك، لم تعد تابعة التيار الكَلَّي للجهد المطبَّق خطيًّا؛

يسمى النقل الإلكتروني في هذا النطَّام **النقل المحدود بالشحنة الفراغية** *Space-Charge-Limited Transport*. طالما أرَّنا رُكِّزنا في هذه الفقرة على التراكيب القصيرة جدًا على وجه الخصوص، فمن المناسب تقديم عرض موجز عن النقل المحدود بالشحنة الفراغية عند تحقق الشرط $L_x, L_y, L_z \ll \lambda$ (راجع المعادلة 6-2)، حيث نستطيع إدخال الحركيَّة في الدراسة.

لندرس عيَّنة قصيرة بتماسين، كما في الشكل (2b-6): تسمى النبطة ثنائية التماس ديوًداً وجسم العيَّنة الواقع بين التماسين **قاعدة الديود** The Diode Base.

- لنفرض بغضِّ التبسيط، أنَّ القاعدة ليست مطعمة (لا تحوي شوائب)، أي أنها خالية من الإلكترونات الناقلة.
- يمكن تصنيع التماسين بتطعيم منطقي التماس بشدَّة بمطعَّمات من النوع n ؛ حيث نحصل على ما يُسمى منطقتين من النوع $-n^+$.



الشكل (10-6): (a) رسم تخطيطي لديود $n^+ - i - n^+$ ؛ (b) و (c) منحنيا الطاقة الكامنة، $V(x)$ ، من أجل ديوًد ذي ناقلة تبديدية ناتجة عن الشحنة الفراغية في حالتي عدم الانحياز والانحياز على الترتيب.

وفي حالة كهذه، تكون هذه النبطة بمثابة ديوًد من الشكل $n^+ - i - n$ ، كما يظهر في الشكل (10a-6).

لنرمز للكمون الكهرباسك بالرمز Φ ؛ وعندها تساوي الطاقة الكامنة للإلكترونات $V = -e\Phi$. يوضح الشكل (10b-6) الطاقة الكامنة لديود غير منحاز (أي لم يُطبَّق بين طرفيه فرق كمون خارجي): في هذه الحالَة، **تنفصل** الإلكترونات في منطقي التماس اليساري واليمينية **ب حاجز** كمون عالٍ موجود في القاعدة (على اعتبار أنَّ المنطقة الوسطى للديود مادة عازلة للتيار الكهربائي).

إذا طُبِّق الآن جهد كهربائي Φ_0 بين طرفي الديود، فإن منحني الكمون يتغيَّر، كما يوضح الشكل (10c-6)؛ فالطاقة الكامنة، $V(x) = -e\Phi(x)$ ،

تتخفض، ويُصبح بمقدور بعض الإلكترونات تجاوز الحاجز الكموني، والعبور من القطب الباقي (المهبط) إلى قاعدة الديود، والمساهمة في التيار.

يُنظر إلى هذا المفعول المترافق بالانحياز الكهربائي على أنه حقن *Injection* للإلكترونات من القطب الباقي إلى القاعدة. ومن الواضح، أنه بازدياد جهد الانحياز تزداد القيمة القصوى للكمون (ذروة الكمون) باتجاه المهبط وتصبح أخفض مما سبق، وتيار الحقن يزداد بطبيعة الحال.

يمكن وصف هذه الظاهرة الفيزيائية بالنموذج البسيط الآتي الذي يكون صالحًا من أجل الانحيازات الكهربائية الكبيرة؛ يمكن كتابة علاقة كثافة التيار بدلالة الحركية المميزة من أجل قاعدة غير مُطعمة، μ ، وتركيز الإلكترونات المحقونة، $n(x)$ ، والحقن الكهربائي، $F(x)$ ، كما في المعادلة (65-6):

$$J = e\mu n(x) F(x). \quad (65-6)$$

- من أجل هيكل الديود الذي تم اختياره في الشكل (10a-6)، تجدر الإشارة إلى أن المهبط يقع من جهة اليسار والمتصعد من جهة اليمين:

- يزداد الكمون Φ بازدياد البعد x ثم إن الحقن الكهربائي F وكثافة التيار J سالبان.

وبناءً على شرط الاستمرارية، في الحالة المستقرة، تُصان كثافة التيار المتداولة عبر الديود:

$$J = -J_0 \quad \text{حيث } J_0 = \text{قيمة المطلقة لكتافة التيار.}$$

يمكننا تعريف تركيز الإلكترونات المحقونة $n(x)$ من الباقي من العلاقة الأخيرة (65-6) فنكتب:

$$n(x) = -\frac{J_0}{e\mu F(x)}. \quad (65-6)$$

ونستطيع تطبيق معادلة بواسون من أجل الحقن الكهربائي:

$$\frac{d^2\Phi}{dx^2} = -\frac{dF}{dx} = \frac{e}{\epsilon_0 \epsilon} \left(-\frac{J_0}{e\mu F(x)} \right), \quad (65-6)$$

حيث ϵ ثابت العزل لمادة القاعدة و ϵ_0 السماحية الكهربائية للخلاء.

بعد التعويض عن $n(x)$ بقيمة من المعادلة (65-6) يمكننا إعادة كتابة المعادلة (65-6) بدلالة الحقن F :

$$F \frac{dF}{dx} = \frac{J_0}{\epsilon_0 \epsilon \mu} \quad \text{or} \quad F dF = \frac{J_0}{\epsilon_0 \epsilon \mu} dx. \quad (65-6)$$

لا بد من تدعيم هذه المعادلة بشرط حدي يخص الحقن؛ إذ يمكننا الاعتماد على حقيقة أن المساواة الآتية محققة عند ذروة الحاجز الكموني:

$$-\frac{d\Phi}{dx} = F = 0. \quad (65-6)$$

تزاح هذه الذروة عند انحياز كهربائي كبير مقتربةً جداً من المهبط؛ إذ نستطيع أن نضع $0 \approx F(x=0)$.

تهمل هذه الطريقة العمليات التي تجري في منطقة ضيقة جداً بين المهبط الحقيقي وذروة الكمون، ولذلك، تسمى الطريقة المتبعة في هذه الدراسة **تقريب المهبط الافتراضي** *Virtual-Cathode Approximation* الذي يستخدم

على نطاق واسع من أجل هكذا تحليل مبسط. إذن، نحصل على الحل المنشود من المعادلة (65-6):

$$\frac{1}{2} F^2(x) = \frac{J_0}{\epsilon_0 \epsilon \mu} x \quad \text{or} \quad F(x) = -\left(\frac{2J_0}{\epsilon_0 \epsilon \mu} \right)^{1/2} x^{1/2}, \quad (65-6)$$

حيث اختيرت القيمة السالبة للجذر التربيعي من أجل الحل المنشود تبعاً لإشارة الحقل الكهربائي التي تمت مناقشتها أعلاه.

وهكذا، نجد أن توزع الكمون يعطى بالعلاقة الآتية:

$$\Phi(x) = - \int_0^x F(x) dx = \left(\frac{8J_0}{9\epsilon_0\mu} \right)^{1/2} x^{3/2}. \quad (72-6)$$

بمقدورنا إيجاد العلاقة بين الكثافة التيارية J_0 والانحراف Φ_0 ، أي الخاصية المميزة (أمبير - جهد) للديود التي تمثل تغير التيار بتغيير الجهد، وذلك من المبروت الكلي للجهد $\Phi(x) = L_x$ ، حيث نرى طرفي العلاقة (72-6)، فنجد:

$$\Phi_0^2 = \frac{8J_0}{9\epsilon_0\mu} L_0^3;$$

ومن ثم

$$J_0 = J_{0,d} = \frac{9\epsilon_0\mu}{8} \frac{\Phi_0^2}{L_0^3}. \quad \text{Mot-Gurney Law} \quad (73-6)$$

وهذا ما يسمى **قانون موت - غيرني** من أجل الديود الذي يتصف بنقل إلكتروني تبديي. إذن، لقد وجدنا أن الخاصية المميزة (أمبير - جهد) تصبح **غير خطية** ($J_0 \sim \Phi_0^2$) تماماً بسبب مفعول الشحنة الفراغية Space-Charge Effect. يمكن وصف مفعول الشحنة الفراغية، على وجه الخصوص، **بالتركيز الوسطي للإلكترونات المحقونة**، \bar{n} حيث نستفيد هنا من العلاقات (71-6) و (73-6)، فنجد:

$$\bar{n} = \frac{1}{L_x} \int_0^{L_x} n(x) dx = \frac{1}{L_x} \int_0^{L_x} -\frac{J_0}{e\mu F(x)} dx = \frac{1}{L_x} \int_0^{L_x} -\frac{J_0}{-e\mu \left(\frac{2J_0}{\epsilon_0\mu} \right)^{1/2} x^{1/2}} dx =$$

$$= \frac{1}{L_x} \int_0^{L_x} \frac{\sqrt{\epsilon_0\mu J_0}}{e\sqrt{2\mu}} x^{-1/2} dx = \frac{1}{L_x} \frac{\sqrt{\frac{9\epsilon_0\mu\Phi_0^2}{8L_x^3}}}{e\sqrt{2\mu}} \int_0^{L_x} x^{-1/2} dx$$

ومن ثم

$$\int_0^{L_x} x^{-1/2} dx = 2\sqrt{L_x} \quad \text{حيث} \quad \bar{n} = \frac{3}{2} \frac{\epsilon_0\mu}{eL_x^2} \Phi_0, \quad (74-6)$$

والذي يزداد بازدياد الجهد المطبق خطياً.

إن المعادلة (49-6) والحقل $F(x)$ الممثل بالمعادلة (71-6) يسهلان حساب الزمن الوسطي للنقل الإلكتروني عبر الديود، $t_{tr,d}$ حيث نجد باتباع الأسلوب الموضح أعلاه أن:

$$t_{tr,d} = \int_0^{L_x} \frac{1}{v(x)} dx = \int_0^{L_x} \frac{1}{\mu F(x)} dx = \int_0^{L_x} \frac{x^{-1/2} dx}{\mu \left(\frac{2J_0}{\epsilon_0\mu} \right)^{1/2}} = \frac{1}{\mu \left(2 \frac{9\epsilon_0\mu\Phi_0^2}{8L_x^3} \frac{1}{\epsilon_0\mu} \right)^{1/2}} \int_0^{L_x} x^{-1/2} dx$$

ومنه:

$$t_{\text{tr, d}} = \frac{4}{3} \frac{L_x^2}{\mu \Phi_0} \quad \text{ومن ثم}$$

$$t_{\text{tr, d}} = \frac{4}{3} t_{0, \text{d}}, \quad (75-6)$$

عماً بأن المقدار

$$t_{0, \text{d}} = \frac{L_x^2}{\mu \Phi_0}. \quad (76-6)$$

يمثل زمن العبور Transit Time أي الزمن الذي يستغرقه انتقال الإلكترونات المنساقة تحت تأثير الحقل الكهربائي الوسطي، Φ_0 / L_x ، والموافق لإهمال مفعول الشحنة- الفراغية. وكما ينبع من المعادلة (65-75)، فإن هذه المفعول يزيد من زمن نقل الإلكترونات بمقدار العامل 4/3.

بشكل عام، تتصف الخصائص الكهربائية اللامستقرة لنبيطة بالتيار المترافق فيها استجابةً لتطبيق جهد انحصار خارجي- متغير مع الزمن؛ فإذا كان الانحصار بتردد ω ، فإن الاستجابة التيارية تُعطى بالمانعة تبعاً للمعادلة (65-6). ومن أجل دiod Mott-Gurney المنحاز بجهد مستقر، Φ_0 ، يمكن حساب الممانعة العقدية بدقة:

$$Z(\omega) = \frac{6R_d}{\Omega^3} \left[(\Omega - \sin \Omega) + i \left(\frac{\Omega^2}{2} - 1 + \cos \Omega \right) \right], \quad (77-6)$$

حيث

$$R_d = \frac{d\Phi_0}{dJ_0} = \frac{4L_x^2}{9 \in_0 \in \mu S \Phi_0}$$

المقاومة التقاضية للديود في الحالة المستقرة المحسوبة من المعادلة (65-73)، و $I_0 = J_0 S$ ، و $\omega t_{\text{tr, d}} = L_y \times L_z$ المقاطع العرضي للعينة، و $\Omega = \omega t_{\text{tr, d}}$ الطور؛ أي أن الممانعة تُعين بالزمن الوسطي للنقل الإلكتروني عبر الديود، راجع المعادلة (75-6).

يوضح الشكل (11-6) التابعين $[Z(\Omega)]$ و $\text{Re}[Z(\Omega)]$ و $\text{Im}[Z(\Omega)]$ ؛ تختلف الممانعة الممثلة بالمعادلة (77-6) بشكل ملحوظ عن ممانعة مادة تتصرف

بسلاوك الترددات العالية- الشبيه بسلاوك درودي؛

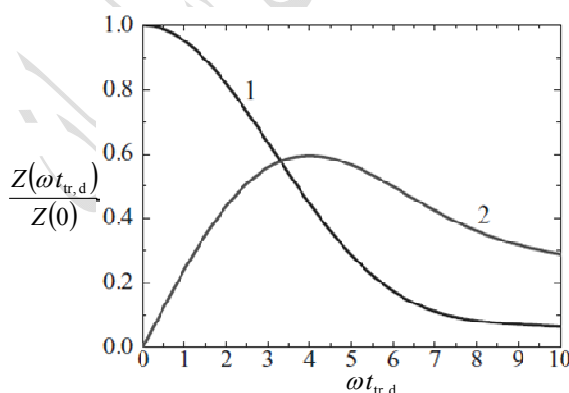
• حالما يزداد جهد الانحصار **تنافق الممانعة** وترتفع الاستجابة التيارية

متناسبة مع هذا الجهد، $\Phi_0 \propto \infty$

• فضلاً عن أن عرض مجال الترددات

(العرض الطيفي) للاستجابة **يُصبح**

أكبر $\propto 1/t_{\text{tr, d}} \propto \Phi_0$



الشكل (11-6): تابعة القسمين الحقيقي (المنحي 1) والتخيلي (المنحي 2) للممانعة الكهربائية العقدية للتردد ω ، $Z(0) = Z(\omega = 0)$.

يؤكد كلا الاستنتاجين أن ديدوًّا قصيراً ذا نقل تبديٍ محدودٍ بشحنة- فراغية وواقعاً تحت تأثير انحيازٍ عالٍ يمكن أن يعمل عند ترددات أعلى من الترددات التي يعمل عندها ديدوًّا آخر مُطْعَمٌ يتصرف بناقلية درودي. يستحسن في ختام هذا التحليل للنقل الإلكتروني التبدي في العينات القصيرة الإشارة إلى أن النتائج الرئيسية الحاصلة صالحة من أجل الانحيازات الكبيرة أي لدى تطبيق فروق كمون بقيم كبيرة؛ حيث يمكن عندها إهمال المساهمة الانتئارية في التيار:

$$\mu \left| \vec{F}(x) \right| \gg D \left| \frac{dn(x)}{dx} \right|. \quad (78-6)$$

- ومن أجل هكذا شروط يتحدد النقل الإلكتروني إلى حدٍ كبيرٍ بمقابل الشحنة- الفراغية،
- ثمَّ إنَّ الحقل الكهربائي يكون غير منتظمٍ للغاية،
- وتيار الحقن الإلكتروني يزداد مع مربع الانحياز الكهربائي المطبق بين طرفي الديود، كما تُظهر المعادلة $J_0 \equiv J_{0,d} = \frac{9 \epsilon_0 \mu \Phi_0^2}{8 L_0^3}$ ، (73-6)
- وعندما يكون الانحياز كبيراً ينخفض زمن النقل الانسيقي للإلكترونات عبر الديود وتبقى النبطة نشطةً كهربائياً في مجالٍ ترددٍ يتسع بازدياد الانحياز طردياً.

دراسة مفهوم الإلكترونات الحارة :Concept of Hot Electrons

نعود الآن إلى **البلورات الكبيرة المنتظمة** لدراسة تأثير الحقول الكهربائية عالية القيم على السرعة الانسيافية فيها والخصائص المميزة (تيار - جهد) لها. لقد تم الحصول على المعادلات (49-6)-(51-6) **شريطة ثبات زمن الاسترخاء**، τ_e ؛ أي إنه لا يتعلّق بقيمة الحقل الكهربائي المطبّق. لدى ازدياد قيمة الحقل المطبّق على البلورة المدروسة يبتعد الغاز الإلكتروني عن حالة التوازن. وعلى وجه الخصوص، تزداد الطاقة الإلكترونية الوسطية للغاز؛ يمكن فهم ذلك من الدراسات الوصفية الآتية:

$$\frac{dE}{dt} = e(\vec{v} \cdot \vec{F}) - \frac{E - E_{eq}}{\tau_E}. \quad (79-6)$$

- يوافق **الحد الأول** في الطرف الأيمن من المعادلة (79-6) الاستطاعة التي يكتسبها الإلكترون من الحقل الكهربائي؛
- **ويمثّل الحد الثاني** معدّل ضياعات الطاقة الإلكترونية Electron-Energy Losses. تتناسب هذه الضياعات تناصباً طردياً مع انحراف الطاقة الإلكترونية، E ، عن قيمتها في حالة التوازن، E_{eq} ، وعكسياً مع زمن استرخاء الطاقة، τ_e ، الذي تمت دراسته في الفقرة 2-6.
- تزداد الطاقة الإلكترونية في الحقل الكهربائي وتستمر بذلك إلى أن يتّسّع التوازن الطيفي الإجمالي. وفي حالة المستقرة، عندما $dE/dt = 0$ ، نحصل من المعادلة (79-6) على طاقة الإلكترون، E ، التي تُعطى بالمعادلة الآتية:

$$E = E_{eq} + e(\vec{v} \cdot \vec{F})\tau_E. \quad (80-6)$$

وتبعاً للمعادلة (49-6)، $\vec{F} = -\mu\vec{v}$ ، تتناسب السرعة، \vec{v} ، تناصباً خطياً مع الحقل الكهربائي \vec{F} . بناءً على ما نقدم **تناسب الطاقة الإلكترونية الوسطية مع مربع الحقل الكهربائي وتفوق** قيمتها المتوازنة، E_{eq} . ومن الملائم هنا دراسة درجة الحرارة الإلكترونية الفعالة، T_e ، بدلاً من الطاقة الإلكترونية الوسطية؛ مثل هذه الدراسة شائعة في الإلكترونيات أنصاف النواقل؛ إذ يمكن إيجاد العلاقة بين درجة الحرارة والطاقة الوسطية في حالة التوازن: $E = \frac{1}{2}\alpha k_B T_e$ حيث يُمثّل العامل α أبعاد البنية المدروسة. من الواضح، أن درجة الحرارة الإلكترونية، T_e ، تتطابق في شروط التوازن الحراري مع **درجة حرارة الشبكة البلورية**، T_b ، وفي شروط عدم التوازن يمكن أن تختلف. يُعبّر عن درجة الحرارة الإلكترونية الفعالة من خلال الطاقة الإلكترونية الوسطية التي تُستخدم؛ كمعيارٍ لحالة عدم التوازن.

- فإذا **تجاوزت** درجة الحرارة الإلكترونية الفعالة T_e درجة حرارة الشبكة البلورية T_b بشكلٍ طفيف فقط، وبقي النقل الإلكتروني خاصعاً لقانون أوم، يكون لدينا ما يسمى **بالإلكترونات "الساخنة"** "Warm".
- وإذا **تفوقت** درجة الحرارة الإلكترونية الفعالة على درجة حرارة الشبكة بشكلٍ كبيرٍ، $T_e >> T_b$ فنحصل على حالة تبتعد فيها الإلكترونات عن حالة التوازن؛ وعندها يمكن تسمية الإلكترونات **بالإلكترونات "الحارة"** "Hot".
- يمكن لدرجة الحرارة الإلكترونية أن تبلغ قيماً من **رتبة بضعة آلاف درجات الكلفن**، في حين إن الشبكة البلورية تبقى باردةً.

و ضمن تقديرات بسيطة؛ من المتوقع عليه أن الانتقال من نظام الإلكترونات الساخنة إلى نظام الإلكترونات الحارة يحدث عند الحقل الكهربائي $F = F_{\text{he}}$ ، عندما $E_{\text{eq}} = \alpha k_B T e(\vec{v} \cdot \vec{F}) \tau_E$. يمكن بسهولة تقدير حقل التسخين الكهربائي، F_{he} . في الواقع، يمكن تقدير سرعة الانسياق، τ ، الداخلة في المعادلة (80-6) من المساواة $\alpha k_B T = e(-\mu F_{\text{he}})(F_{\text{he}}) \tau$. إذن، $\tau = -\mu F_{\text{he}} / (\alpha k_B T)$. ومن ثم يساوي حقل التسخين المعياري:

$$F_{\text{he}} = \sqrt{\frac{\alpha k_B T}{e \mu \tau_E}} . \quad (81-6)$$

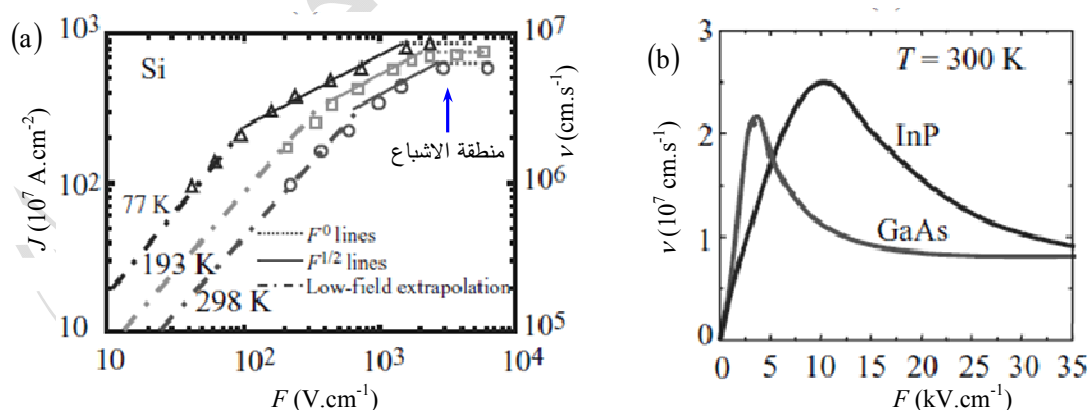
ومن أجل الإلكترونات الحارة تُصبح عمليات التبعثر بحد ذاتها متعلقةً بالحقل. وفي هذا السياق، فإن العلاقة الخطية لقانون أوم الممثل بالمعادلة (51-6)، لم تعد صالحةً والخصائص المميزة (تيار - جهد)، $J = J(F)$ ، وتابعة سرعة الانسياق للحقل، $\tau(F) = \tau_0$ ، يمكن أن تُبدي وبشدة سلوكاً غير خطٍّ يتعلّق ببنية عصابات الطاقة للإلكترونات Electron Band-structure وآليات التبعثر النوعي؛ وعلى وجه الخصوص، تكون هذه التابعيات مختلفة الشكل في أهم مادتين؛

→ في المواد نصف الناقلة العائدة للمجموعة الرابعة IV من الجدول الدوري ظهر التابعيات $J = J(F)$ و

→ **مفعول الإشباع** Saturation Effect في حين يُتَّسِّع حقول كبيرة، كما يوضح الشكل (12a-6)،

→ في حين يتعرّض منحنيا التيار والسرعة من أجل مركبات المجموعتين V-III، بعد جزء متزايد بشكل غير خطٍّ، لتناقض في مجال ما للحقل الكهربائي، كما يوضح الشكل (12b-6).

→ وكما ينتج من التحليل الذي أُجري على أنظمة النقل الإلكتروني المختلفة في الفقرة 2-6، من أجل النبائط عالية السرعة، يمثل المتحول الأساسي لمادة النبطة في القيمة القصوى لسرعة الانسياق التي يمكن بلوغها بوجود الحقول الكهربائية الكبيرة.



الخطوط المنقطة للدالة على أنَّ كثافة التيار لا تتعلق بالحقل المطبق F^0

الخطوط المستمر للدالة على أنَّ كثافة التيار تتعلق بالحقل المطبق وفق التابع $F^{1/2}$

الخطوط المقطعة-المنقطة للدالة على علاقة الاستقراء في منطقة الحقول الضعيفة

الشكل (12-12): المنحنيات المميزة (تيار - جهد) من أجل حقول كهربائية كبيرة: (a) من أجل Si و InP و (b) من أجل GaAs

يشمل الجدول (6-2) مقارنةً بين السرعات المشبعة والسرعات القصوى من أجل مواد ذات صلة: يمكننا أن نرى أن بعض المركبات III-V (بما فيها GaAs، InP، و InSb) تمتلك سرعات أكبر بعده من المرات من تلك

التي تمتلكها مواد Si، GaP، و AlAs؛

→ فمن أجل Si تُعيَّد سرعة الانسياق بقيمة تساوي

نحو 10^7 cm/s والتي يمكن بلوغها من أجل

حقول كهربائية تتجاوز بضعة كيلوفولطات لكل

سنتيمتر (kV/cm)،

→ ومن أجل GaAs تبلغ ذروة سرعة الانسياق

القيمة $2 \times 10^7 \text{ cm/s}$ والتي يمكن بلوغها عند

الحقول المساوية $\approx 3.5 \text{ kV/cm}$.

الجدول (6-2): قيم سرعات الانسياق المشبعة (من أجل Si, SiC, SiO_2 , AlAs, GaP) وسرعات الانسياق القصوى (من أجل GaAs, InP, InAs, InSb) في درجة حرارة الغرفة:	
السرعة القصوى (10^7 cm/s)	اسم المادة
1	Si
2	SiC
1.9	SiO_2
0.65	AlAs
1.1	GaP
2	GaAs
2.5	InP
4.4	InAs
6.5	InSb

دراسة ظاهرة العابرة (السرعة الانتقالية) : *Transient Overshooting Effects*

يمكن تجاوز الحدود المفروضة على سرعة الانسياق المميزة لمادة معينة باستخدام **مفعول الإلكترون الحر** المعروف بإسم **ظاهرة العابرة Velocity Overshoot**؛ بهدف شرح هذه الظاهرة لنذكر الاستنتاجات التي حصلنا عليها من أجل مسألة الحالة المستقرة، التي يكون فيها توزُّع الإلكترونات مستقرًا، بتعبير آخر، نسبنا التحليل السابق إلى الخصائص الإلكترونية المتوسطة على أزمنة أطول بكثير من الأزمنة المميزة للحمل المدروسة؛

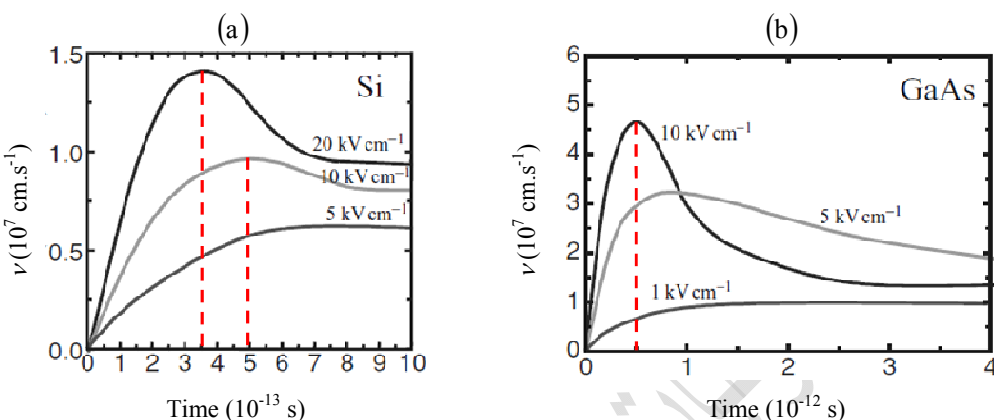
- **كزمن الطيران الحر الوسطي**، وزمن استرخاء الطاقة و زمن استرخاء الاندفاعة، الخ.

سندرس الآن العمليات التي تَحدُث في الجملة **الإلكترونية** بعد انحرافها عن حالة التوازن **مباشرةً**؛ إذ **سنركِّز** في هذه الحالة الخاصة **على استجابتها للحقل الكهربائي النبضي** الذي له شكل تابع- الخطوة (الدَّرْجَة) -Step- Function.

- إن زمن استرخاء الاندفاعة، τ ، الداخل في المعادلة (6-49)، بشكل عام، **أقصى** من زمن استرخاء الطاقة، τ_E ، الذي يُحدِّد الطاقة الإلكترونية؛ راجع المعادلة (6-79)؛ ولهذا السبب، فإن استجابة السرعة لخطوة الحقل الكهربائي **أسرع** من استجابة الطاقة لها من أجل الحالة الموصوفة بالمعادلة (6-79).
- وعادةً، إذا ازداد معدل التبعثر بازدياد الطاقة الإلكترونية، فيمكن للسرعة الإلكترونية أن تفوق السرعة المستقرة خلال فاصل زمني من رتبة τ_E ؛ بتعبير آخر، **السرعة العابرة Transient Velocity** ليست مجرد تابع للحقل الكهربائي وحسب، بل للطاقة الإلكترونية أيضًا:
- فعليًا، **أثْكَيَّف** "السرعة نفسها، بسرعةٍ" مع التغيرات البطيئة جداً للطاقة و "تواكبها" "Follows" ،
- بمعنى تتعقبها، حتى تبلغ هذه الطاقة الحالة المستقرة؛ إذ في البداية، عندما لا تبلغ الطاقة الإلكترونية القيمة المستقرة تكون السرعة الإلكترونية الموافقة **لطاقة العابرة** أعلى من السرعة الموافقة لطاقة المستقرة.

يوضح الشكل (13-6) ظاهرة السرعة العابرة من أجل Si و GaAs :

تتمثل سرعة الانسياق كتابٍ للزمن من أجل بضعة حقول كهربائية؛ إذ يفترض تطبيق الحقل الكهربائي بين طرفي العينة المدروسة في اللحظة $t = 0$ ؛ تبرز ظاهرة السرعة العابرة عند توفر حقول كهربائية عالية القيمة ويمكن لذروة السرعة العابرة أن تتجاوز سرعة الإشباع - المستقرة بمرتين إلى أربع مرات.



الشكل (13-6): مفعول السرعة العابرة - الاستجابة الانتقالية لسرعة الانسياق الإلكتروني لنبضات حقل كهربائي لها شكل النَّرْجَةِ في درجة حرارة الغرفة. أشير لقيمة الحقل بجانب كل رسم: (a) من أجل Si و (b) من أجل GaAs.

يمكننا من خلال الشرح الفيزيائي لظاهرة السرعة العابرة أن ندرك ما هي إمكانية الاستفادة منها:

- لنتصور أن الإلكترونات باردة دخلت منطقة نشطة لنبيطة نصف ناقلة من أحد تماستها؛ فإذا توفر في المنطقة النشطة حقل كهربائي كبير، فإن الإلكترونات ستتسارع؛ وعلى مسافة ما من التماس الحاقد ستبلغ الإلكترونات السرعة العابرة القصوى، وبعد ذلك، ستتناقص سرعها تدريجياً نحو القيمة المستقرة.
- إذا كانت **المنطقة النشطة لنبيطة قصيرة** وأمكن مقارنتها بالمسافة التي تحصل فيها **الظاهرة العابرة**، فإن نقل الإلكترونواً يحدث عبر هذه المنطقة النشطة بسرعة أعلى من السرعة المستقرة ويصبح زمن النقل الإلكتروني الإجمالي أقصر، ومن ثم ستكون **النبيطة قادرةً على العمل بمعدل سرعةٍ وتردٍ أعلى**.
- يساوي **الزمن المميز للظاهرة العابرة** من أجل GaAs، كما يبدو من الشكل (13-6)، نحو $s = 0.5 \times 10^{-12} \text{ s}$. وعند تقدير **السرعة الوسطية**، في شروط العبور، **بالقيمة** $v_m = (2-4) \times 10^7 \text{ cm/s}$ يمكننا الحصول على تقدير **طول النبيطة** اللازم لتحقيق ظاهرة السرعة العابرة قيد الدراسة:

$$L_x \leq v_m \tau_{tr} = (2-4) \times 10^7 \text{ cm/s} \times 0.5 \times 10^{-12} \text{ s}$$

ومن ثم

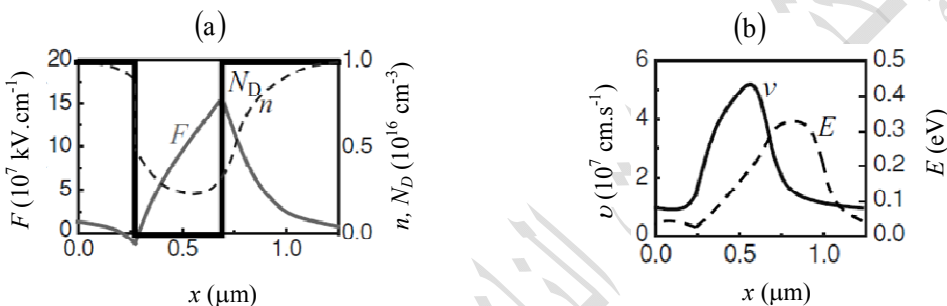
$$L_x \leq (0.1-0.2) \mu\text{m}$$

وهذا يعني أنه يمكن بلوغ ظاهرة السرعة العابرة والحصول على الإلكترونات فائقة السرعة Ultra-High-Speed Electrons في عينات قصيرة (**من رتبة أجزاء من واحد ميكرون**).

عند توفر انحيازات وتيارات عالية لا بد من الأخذ بالحسبان مفعول الشحنة- الفراغية وكذلك ظاهرة السرعة العابرة. **يعرض الشكل (14-6) حسابات** النقل الإلكتروني المحدود بالشحنة- الفراغية في ديد قصير $n^+ - i - n^+$ من مادة GaAs، حيث:

- يرمز n^+ إلى تamasات شديدة التطعيم
- و i إلى قاعدة الديود الخالية من التطعيم.

يُشار إلى التطعيم الشبيه بتتابع- الخطوة لمناطق التماس بالرمز N_D ؛
إذ يوضح الشكل (14-6) كلاً من الحقل، وتركيز الإلكترونات المحقونة وسرعات انسياقها الوسطية، وطاقاتها الوسطية:

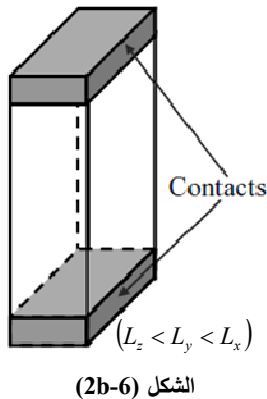


الشكل (14-6): النقل الإلكتروني المحدود بالشحنة الفراغية تبعاً للظاهرة العابرة في ديد $n^+ - i - n^+$ مصنوع من GaAs في الشروط $L_x = 0.37 \mu\text{m}$ ، $T = 77 \text{ K}$ ، $\Phi_0 = 0.5 \text{ V}$ ؛ يوضح الشكل (a) كلاً من مناطق التطعيم، والحقول الكهربائية، F ، وتركيز الإلكترونات المحقونة، n ، والشكل (b) يوضح سرعة الانسياق، v ، والطاقة الوسطية للإلكترونات المحقونة، E ، من أجل GaAs.

- إن الحقل الكهربائي وتركيز الإلكترونات المحقونة غاية في عدم الانتظام بصورة مشابهة لحالة النقل الإلكتروني التبددي التي تم تحليلها سابقاً.
- ولكن من أجل ديد قصير، تُرصد السرعة العابرة بوضوح في قاعدة الديود.
- حيث تزداد الطاقة الوسطية في القاعدة **وتهبط فقط** في التماس المستقيم للإلكترونات بسبب التبعثر الشديد الذي يحدث لها في المنطقة شديدة التطعيم.
- وتجرد الإشارة إلى أن سرعة الانسياق تبلغ قيمةً تفوق $4 \times 10^7 \text{ cm/s}$ والطاقة الإلكترونية تتجاوز الـ 3500K في بلورة درجة حرارتها 77K.

إن عمليات التبدد Dissipation Processes من أجل أنظمة النقل المدروسة إلى الآن؛ نظام النقل في حقول ضعيفة، ونظام نقل الإلكترونات الحارة، ونظام النقل تبعاً للظاهرة العابرة، تؤدي دوراً رئيساً في التحكم بسرعة انسياق الإلكترونات. وبتحفيض أبعاد العينة تدريجياً يمكن بلوغ نقل إلكتروني عديم التصادم - وفائق السرعة.

The relations between the various units are: $1 \text{ eV} = 8065.5 \text{ cm}^{-1} = 2.418 \times 10^{14} \text{ Hz} = 11,600 \text{ K}$.
Also 1 eV corresponds to a wavelength of $1.2398 \mu\text{m}$, and $1 \text{ cm}^{-1} = 0.12398 \text{ meV} = 3 \times 10^{10} \text{ Hz}$.



دراسة النقل البالستي التقليدي Classical Ballistic Transport

يحدث النظام البالستي التقليدي (بدون تصادم)، تبعاً للمعادلة (6-11)، $l_e > L_x$ ، في العينات القصيرة جداً حيث لا تعرّض الإلكترونات أثناء طيرانها لأي تباغر. فالتيار والمقاومة الكهربائية المحدودان يحدثان في حالة كهذه - بصورة استثنائية - بسبب مفاعيل الشحنة الفراغية.

بمقدورنا تفسير هذه المفاعيل في ديوان بالستي يوضح الشكل (2b-6) شكله الهندسي. إذ بصورة مشابهة لحالة الديودات القصيرة المذكورة أعلاه التي تعمل بنظام النقل التبدي Dissipative ونظام السرعة العابرة Overshoot لا بد من تعين توزع الكمون الكهربائي، $\Phi(x)$ ، وتراكيز الإلكترونات، $n(x)$ ، والسرعة، $v(x)$ ، في شروط طيران الإلكترونات من دون تصادم.

سنستفيد هنا من **معادلة بواسون** (6-68)، ونستعمل علاقة كثافة التيار ذات الشكل

الآتي:

$$\vec{J} = -en(x) \vec{v}(x). \quad (82-6)$$

يمكنا إيجاد السرعة، v ، من **قانون نيوتن** في التحرير الأساسي المألف (2-8)؛ إلا أننا سنستعمل قانون انحفاظ الطاقة الذي يقرأ كالتالي:

$$\frac{1}{2} m^* v^2(x) - e\Phi(x) = \frac{mv_c^2}{2} - e\Phi_c = \text{constnt}, \quad (83-6)$$

حيث v_c و Φ_c وسيطان يوافقان القطب الحاقد (المهبط Cathode).

يمكنا تبسيط المعادلة الأخيرة، في حالة تطبيق انحياز كهربائي كبير، باعتبار أن الإلكترونات تُحقن من فوق الحاجز بسرعة صغيرة $0 \rightarrow v_c$ ؛ وعندها، نستعمل تقرير المهبط الافتراضي الذي تمت مناقشته سابقاً، إذ من الملائم في هذه الحالة وضع $\Phi_c = 0$ والحصول على العلاقاتين الآتيتين:

$$v(x) = \sqrt{\frac{2e\Phi(x)}{m^*}}, \quad (84-6)$$

$$n(x) = \frac{J_0}{e v(x)}, \quad (85-6)$$

حيث J_0 القيمة المطلقة لكتافة التيار المتدايق عبر الديود؛ $J = -J_0 = -en(x)v(x)$.

وكما أشرنا في الفقرة المكرسة للنقل التبدي، تكون الكثافة J سالبة، ومن ثم من الملائم إدخال قيمة مطلقة لكتافة التيار، J_0 ، التي تكون ثابتة خلال كامل العينة.

ونحصل بجمع المعادلة الأخيرة مع معادلة بواسون، المعادلة (6-68)، على معادلة من أجل الكمون الكهربائي $\Phi(x)$:

$$\frac{d^2\Phi(x)}{dx^2} = \frac{J_0}{\epsilon_0} \sqrt{\frac{m^*}{2e\Phi(x)}}. \quad (86-6)$$

وبضرب طرفي المعادلة الأخيرة بالمقدار $d\Phi(x)/dx$ نحصل على معادلة يمكن تكاملها؛ إذ إن نتيجة التكامل تكون من الشكل الآتي:

$$\begin{aligned}\frac{d\Phi(x)}{dx} \frac{d}{dx} \frac{d\Phi(x)}{dx} &= \frac{J_0}{\epsilon_0 \epsilon} \frac{d\Phi(x)}{dx} \sqrt{\frac{m^*}{2e\Phi(x)}}. \\ \frac{1}{2} \frac{d}{dx} \left(\frac{d\Phi(x)}{dx} \right)^2 &= \frac{J_0}{\epsilon_0 \epsilon} \sqrt{\frac{m^*}{2e}} \Phi^{-1/2}(x) \frac{d\Phi(x)}{dx} \\ \frac{1}{2} \int d \left(\frac{d\Phi(x)}{dx} \right)^2 &= \frac{J_0}{\epsilon_0 \epsilon} \sqrt{\frac{m^*}{2e}} \int \Phi^{-1/2}(x) d\Phi(x)\end{aligned}$$

ومن ثم

$$\frac{1}{2} \left(\frac{d\Phi(x)}{dx} \right)^2 = \frac{2J_0}{\epsilon_0 \epsilon} \sqrt{\frac{m^* \Phi(x)}{2e}} + C. \quad (87-6)$$

يمكن وضع ثابت التكامل، C ، مساوياً الصفر، طالما أن $d\Phi/dx \rightarrow 0$ و $\Phi \rightarrow 0$ عندما $x \rightarrow 0$ في دراستنا التقريبية. إذن، بمقدورنا إعادة كتابة النتيجة الأخيرة، (87-6)، وفق الشكل الآتي:

$$\frac{d\Phi(x)}{dx} = \sqrt{\frac{4J_0}{\epsilon_0 \epsilon} \sqrt{\frac{m^* \Phi(x)}{2e}}}.$$

ومن ثم

$$\frac{1}{\Phi^{1/4}} \frac{d\Phi(x)}{dx} = 2 \sqrt{\frac{J_0}{\epsilon_0 \epsilon} \sqrt{\frac{m^*}{2e}}}. \quad (88-6)$$

ويعطي التكامل اللاحق للمعادلة الأخيرة شكلاً نهائياً لتوزع الكمون الكهربائي:

$$\begin{aligned}\int \Phi^{-1/4} d\Phi(x) &= 2 \sqrt{\frac{J_0}{\epsilon_0 \epsilon} \sqrt{\frac{m^*}{2e}}} \int dx; \\ \frac{4}{3} \Phi^{3/4}(x) &= 2 \left(\frac{J_0}{\epsilon_0 \epsilon} \left(\frac{m^*}{2e} \right)^{1/2} \right)^{1/2} x;\end{aligned}$$

ومن ثم

$$\Phi(x) = \frac{3}{2} \left(\frac{J_0}{\epsilon_0 \epsilon} \right)^{2/3} \left(\frac{m^*}{2e} \right)^{1/3} x^{4/3}. \quad (89-6)$$

وبالأخذ بالحساب أن، $\Phi_0 = \Phi(L_x)$ ، يمكننا إيجاد الصفة المميزة (تيار - جهد) للديود الباليسطي:

$$J_{0,b} = \left(\frac{2}{3} \right)^{3/2} \frac{\epsilon_0 \epsilon}{L_x^2} \sqrt{\frac{2e}{m^*}} \Phi_0^{3/2}. \quad (90-6)$$

تعرف هذه المعادلة بقانون تشايلد Child Law. وتم التتحقق منها في البداية من أجل الديودات الخلائية (الصمامات المفرغة من الهواء) Vacuum Diodes حيث غابت تصاميمات الإلكترونيات فيها تماماً. يختلف قانون تشايلد كثيراً عن الصفة المميزة (تيار - جهد) للديود التبديلي التي تم التعبير عنها بالمعادلة (73-6)،

$$J_0 \equiv J_{0,d} = \frac{9 \epsilon_0 \epsilon \mu}{8} \frac{\Phi_0^2}{L_0^3}$$

بمقدورنا حساب وسطاء أخرى للديود البالستي من خلال تطبيق المعادلة (6-89)؛ فعلى سبيل المثال، يساوي زمن انتقال الإلكترونات:

$$t_{tr,b} = \frac{3}{2} t_{0,b}, \quad t_{0,b} = L_x \sqrt{\frac{2m^*}{e\Phi_0}}, \quad (91-6)$$

حيث $t_{0,b}$ زمن انتقال الإلكترونات المقدوفة بغياب مفعول الشحنة- الفراغية؛ إذ يزيد هذا المفعول زمن انتقال الإلكترونات، $t_{tr,b}$ ، بمقدار العامل $3/2$.

من المناسب هنا مقارنة النتائج التي تم الحصول عليها من أجل **الانتقال الإلكتروني المحدود بالشحنة- الفراغية** في كلا الديودين **التبديي والبالستي**.

ولفعل ذلك، نفرض أن طولي الديودين، L_x ، متساويان وأنهما منحازان بجهدين متساوين؛ وعندما،

$$t_{tr,d} = \frac{4}{3} t_{0,d} = \frac{4}{3} \frac{L_x^2}{\mu\Phi_0}, \quad (75-6) \quad \text{و (91-6)}$$

$$\frac{t_{tr,b}}{t_{tr,d}} = \frac{9 \sqrt{m^* \Phi_0} \mu}{4 \sqrt{2e} L_x} = \frac{9 \tau_e \sqrt{e \Phi_0}}{4 \sqrt{2m^*} L_x} = \frac{9l_e}{8L_x} \ll 1, \quad (92-6)$$

حيث استعملنا العلاقة $\mu = e\tau_e / m^*$ وأدخلنا المسار الحر الوسطي الأعظمي، $\tau_e v_m = l_e$ ، والسرعة الإلكترونية القصوى، $v_m = \sqrt{2e\Phi_0 / m^*}$

- إن النسبة التي تم الحصول عليها صغيرة القيمة وتتسق مع شرط النقل التبديي، الممثل بالمعادلة (12-6)، إن $L_x \gg l_e$. وهذا يعني أن **الديودات البالستية تستطيع تأمين منظومات عمل أسرع بكثير من تلك التي يمكن أن تؤمنها الديودات التبدية**.

- وبشكل مشابه، يمكن أن نجد، أنه من أجل انحياز كهربائي معطى، تكون **التيارات في الديود البالستي أكبر بكثير منها في الديود التبديي**:

$$\frac{J_{0,b}}{J_{0,d}} = \frac{8}{9} \left(\frac{2}{3} \right)^{3/2} \frac{L_x}{l_e} \gg 1.$$

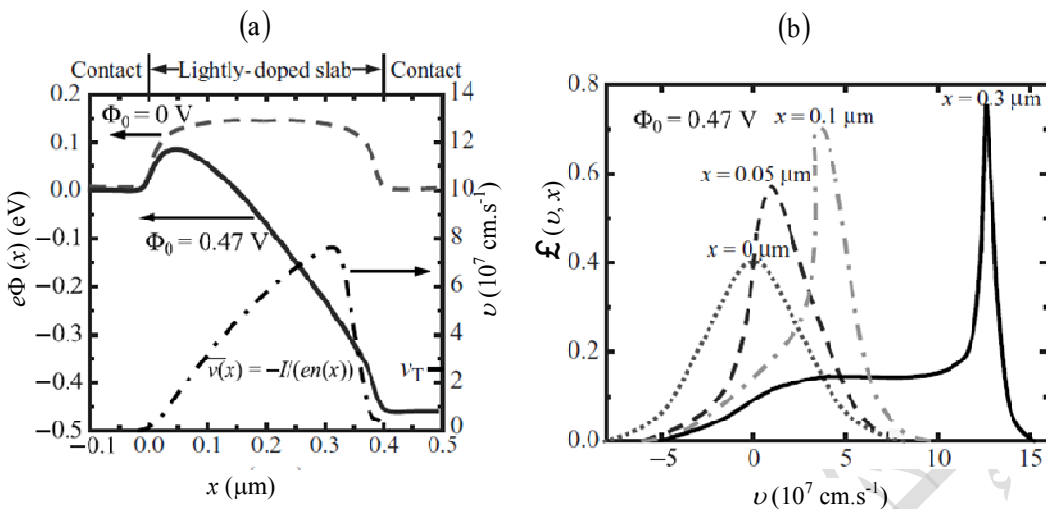
ولهذا السبب، يتصف النقل الإلكتروني الأعظمي- **الخالي من التصادمات** The Ultimate Collisionless Transport **بعدد من المزايا** يتفوق فيها على النقل الإلكتروني التبديي، وذلك، بفضل سرعة الإلكترونات الأعلى في النقل البالستي.

في الواقع، في الحالة الحقيقة ثمة تصادمات تحدث دوماً؛ وعندما يمكن معالجة هذه الحالة "الوسطية" "Intermediate" (بين النقل الإلكتروني البالستي والنقل الإلكتروني التبديي) عددياً باستعمال نموذج أكثر تعقيداً: يوضح الشكلان (15a-6) و (15b-6) نتائج مثل هذا النموذج العددي **من أجل ديوه GaAs** طوله $L_x = 0.4 \mu\text{m}$ وفي درجة الحرارة $T = 300\text{K}$ ، حيث تم تحصيل النتائج الآتية:

→ **تساوي القيمة النموذجية للحركة الإلكترونية من أجل مادة GaAs** عالية النقاوة إلى

$$\mu = 7500 \text{ cm}^2/\text{V}\cdot\text{s}$$

→ **ومن أجل هذه الحركة يساوي زمن الطيران الحر القيمة: $\tau_e = 2.9 \times 10^{-13} \text{ s}$**



الشكل (15-6): نتائج النمذجة العددية لديود مصنوع من GaAs: (a) توزيع الطاقة الكامنة للإلكترونات، $e\Phi_x$ ، والسرعة الوسطية، v ، بين طرفي الديود؛ والشكل (b) يوضح توزيع التابع $f(v, x)$ عند المسافات $x = 0.1, 0.05, 0 \mu\text{m}$ ؛ الجهد المطبق $\Phi_0 = 0.47 \text{ V}$ ؛ والسرعة الحرارية، v_T ، تساوي $2.6 \times 10^7 \text{ cm/s}$

→ وتبليغ السرعة الحرارية للإلكترونات في درجة الحرارة المعطاة $v_T = \sqrt{k_B T / m^*} \approx 2.6 \times 10^7 \text{ cm/s}$

→ ومن ثم يبلغ المسار الحر الوسطي للإلكترون القيمة $L_x = 0.075 \mu\text{m}$ ، ومن ثم $5 \approx l_e / L_x$.

→ وهذا يعني الإلكترونات التي سرعاتها الحرارية تساوي v_T تتعرض أثناء طيرانها عبر عينة منتظمة بطول اختياري، L_x لعدد من التصادمات تبلغ وسطياً حتى الخمسة تصادمات. ومن أجل عينة كهذه، سيكون **النقل تبددياً** على الأغلب.

→ أما من أجل ديدون واقع تحت تأثير انحياز شديد بمقدورنا التوصل لاستنتاجات مختلفة تماماً؛ إذ يعرض الشكل (15a-6) الشكل العام للطاقة الكامنة للإلكترونات والسرعة الإلكترونية الوسطية من أجل جهد مطبق قيمته $\Phi_0 = 0.47 \text{ V}$ ، وبعرض المقارنة، تمت الإشارة إلى السرعة الحرارية في هذا الشكل أيضاً: يمكننا أن نرى هنا أن السرعة الوسطية القصوى تزيد عن $7 \times 10^7 \text{ cm/s}$. فضلاً عن أن المسار الحر الوسطي الفعلي يُقدر بقيمة أكبر، $0.07 \mu\text{m} \leq l_e \leq 0.2 \mu\text{m}$.

وهكذا نجد أن هذا المثال يوافق حالة وسطية بين نقل بالبستي صرف ونقل تبددي. ومن أجل هكذا حالة، ثمة الإلكترونات مختلفة تمتلك سرعات مختلفة ومن المحتمل توصيف هذه الإلكترونات بتتابع توزع، f ، على السرعات v : يتعلق التوزع بالمسافة على طول الديود أيضاً، $f(v, x)$.

يوضح الشكل (15b-6) تابع التوزع من أجل مسافات مختلفة، x . يُشار إلى التوزع الحراري للإلكترونات في المهبط بالخط المقطعي؛ إذ من الواضح، أن توزع مكسوبل الممثل بالمعادلة (16-6) يوافق درجة الحرارة $T = 300 \text{ K}$.

فعلياً، يحدّد هذا التوزع سرعات الإلكترونات المحقونة. ويُعدُّ "التاثير Spreading الأولي للإلكترونات على السرعات في المهبط أحد الفوارق الرئيسية عن النموذج البسيط الذي جرى تحليله سابقاً والذي تكون الإلكترونات فيه محقونة بسرعة قريبة من الصفر. ويُصبح التوزع داخل الديود شديد التناхи (الأنزوتوريية) : Anisotropic

- فالإلكترونات ذات السرعات السالبة تغيب بمعظمها.
- ومع ازدياد المسافة يُصبح التوزع المتاحي أكثر فأكثر مترافقاً بقيمة قصوى (ذروة) Maximum أكثر وضوحاً. إذ من أجل مسافات أكبر توافق هذه الذروة - تقريباً - قيماً أعطيت في نموذج النقل البالبوليستي الصرف الذي تمت مناقشته سابقاً.

يُبرِّزُ هذا المثال الطبيعية الحقيقة لدiod بالبوليستي تقريباً: تُسهم بعض الإلكترونات في النقل ويحدث بعض الانتشار على السرعة. ولكن الخصائص الوسطية للديود قريبة جداً من الخصائص التي تم الحصول عليها في النموذج البسيط الذي تأسس على معادلات نيوتن وبواشون التقليدية.

يسمح النموذج البسيط الذي تمت مناقشته سابقاً بالتحري عن **خصائص الديود البالبوليستي في حالة الترددات العالية وحساب ممانعته**. إذ يُعطي الجزء الحقيقي Real والتخيلي Imaginary للممانعة بالمعادلين الآتيتين:

$$\operatorname{Re}[Z(\Omega)] = \frac{12R_d}{\Omega^4} [2(1 - \cos \Omega) - \Omega \sin \Omega], \quad (93-6)$$

$$\operatorname{Im}[Z(\Omega)] = \frac{12R_d}{\Omega^4} \left[2 \sin \Omega - \Omega (1 + \cos \Omega) - \frac{\Omega^3}{6} \right], \quad (94-6)$$

حيث $R_d = d\Phi_0 / dJ_0$ المقاومة التقاضلية المحسوبة عبر استخدام الخاصة المميزة (تيار - جهد) في الحاله المستقره، المعادله (90-6)، و $\Omega = \omega t_{tr,b}$ ، أي التردد المُقاس بوحدة قياس مقلوب زمن النقل الإلكتروني المُعرف بالمعادله (91-6).

يوضح الشكل (16-6) كلتا التابعتين $\operatorname{Im}[Z(\Omega)]$ و $\operatorname{Re}[Z(\Omega)]$ ؛ فتبعاً للمعادلين (93-6) و (94-6) وتعريف المقاومة التقاضلية R_d ، تتناقص قيمة الممانعتين الحقيقية والتخيلية $\operatorname{Re}[Z(\Omega)]$ و $\operatorname{Im}[Z(\Omega)]$ بازدياد جهد الانحياز Φ_0 ، لأن:

$$R_d = \frac{d\Phi_0}{dJ_0} = \frac{1}{2} \sqrt{\frac{3m^*}{e\Phi_0}} \frac{L_x^2}{\epsilon_0 \epsilon}.$$

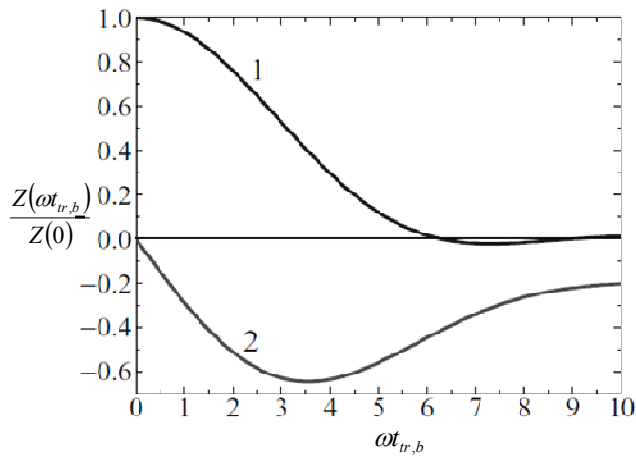
→ هذا يعني أن استجابة التيار تُصبح أكبر عند الانحيازات الأكبر بحكم التابعية $(R_d \propto 1/\sqrt{\Phi_0})$.

→ وبنفس الوقت تتوسيع المنطة التردديه، التي يبقى ضمنها الديود نشطاً، مع الانحياز بحكم التابعية $\omega = t_{tr,b}^{-1} \propto \sqrt{\Phi_0}$.

→ إن هذه الصفات تشابه تلك التي تم تحصيلها من أجل دiod موت- غيرني التبدي Dissipative Mott-Gurney Diode تماماً، راجع المعادله (77-6).

→ ومن حيث المبدأ، **ثمة صفة جديدة** تكمن في الاهتزازات الممکن رصدها للكميتين $\operatorname{Re}[Z(\Omega)]$ و $\operatorname{Im}[Z(\Omega)]$ مع التردد ω وتبرز "النوافذ التردديه Windows Frequency" بقيم سالبة للكمية الحقيقية $\operatorname{Re}[Z(\Omega)]$ ؛

→ "فالنافذة الأولى" المموافقة لـ $\operatorname{Re}[Z(\Omega)] < 0$ تحدث من أجل الترددات ω الواقعة بين $t_{tr,b}$ و 6.3 و 9 ، ومن المعلوم أن **الكمية $\operatorname{Re}[Z(\Omega)]$ السالبة توافق عدم استقرار كهربائي عند التردد ω** . ويمكن استعمال عدم الاستقرار هذا في توليد اهتزازات كهربطيسية عالية التواتر.



الشكل (6-16): تابعية القسمين الحقيقي (المنحنى 1) والتخيلي (المنحنى 2) للممانعة الكهربائية العقدية للتردد ω المعرفتين بالمعادلتين . $Z(0) = Z(\omega = 0)$ و (94-6) و (93-6)

يجدر بالذكر في الختام أن النبطة النانومترية البالستية هي أسرع النبائط التي تستند إلى النقل الإلكتروني التقليدي في آلية عملها، إذ ينشأ تيار كهربائي محدود ومقاومة كهربائية محدودة من دون تبعثر إلكتروني بفضل المفاعيل الكهراكدة المترخصة نتيجة لإعادة توزع الإلكترونات المشحونة في النبطة؛ وهذا هو السبب، الذي يجعل هذه الحالة مرتبطة بالنقل المحدود بالشحنة. وتمتاز الديودات البالستية أيضاً "بنوافذ ترددية" تكون فيها المقاومة الديناميكية للنبيطة سالبة مما يؤدي إلى تقوية الاستقرار الكهربائي واحتمال توليد إشعاع كهرومطيسي فائق التردد.



مكتبة
A to Z